

What is a Parking Function?

J. Carlos Martínez Mori*

April 25, 2024

Abstract. In this expository article I describe classical results in the combinatorics of parking functions. Its English-Spanish translation is included.

Consider a one-way street with $n \in \{1, 2, \dots\}$ numbered parking spots, denoted s_1, s_2, \dots, s_n . A sequence of n cars enter the street one at a time, each with a preferred spot. Upon its arrival, car $1 \leq i \leq n$, denoted c_i , drives to its preferred spot $x_i \in [n] := \{1, 2, \dots, n\}$. If spot x_i is unoccupied, car c_i is *lucky* and parks there. Otherwise, car c_i *displaces* further down the street until it finds the first unoccupied spot in which to park, if such a spot exists. If no such spot exists, car c_i reneges the search process unable to park. Let $\mathbf{x} = (x_1, x_2, \dots, x_n) \in [n]^n$ be the n -tuple encoding the cars' parking preferences. If all cars are able to park, then \mathbf{x} is said to be a *parking function* of length n .

Parking functions were first implicitly studied by Pyke [Pyk59] in his study of Poisson processes and later on by Konheim and Weiss [KW66] in their study of hashing with linear probing. Parking functions can be seen as functions in the sense that the “parking experiment” narrated above assigns, to each n -tuple of parking preferences, a single n -tuple encoding its parking *outcome*. If the n -tuple of preferences is indeed a parking function, its outcome can be treated as a permutation of $[n]$ written in one-line notation. For example, as depicted in Figure 1, $(1, 3, 1, 1)$ is a parking function of length 4 with outcome $(1, 3, 2, 4)$.

Classical enumerative results about parking functions foreshadow their rich mathematical structure.

*J. Carlos Martínez Mori is a Schmidt Science Fellow and a President’s Postdoctoral Fellow at the Georgia Institute of Technology. His email address is jcmm@gatech.edu.

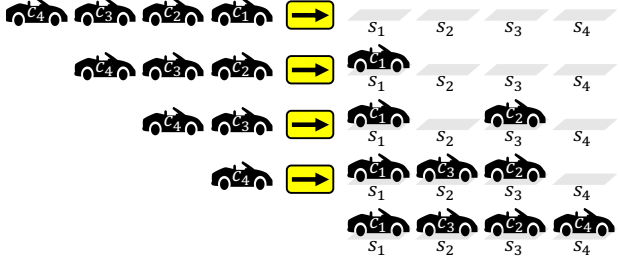


Figure 1: The parking function $(1, 3, 1, 1)$ has outcome $(1, 3, 2, 4)$. Cars c_1 and c_2 are lucky and park in their preferred spots s_1 and s_3 , whereas cars c_3 and c_4 displace further down the street before ultimately parking in spots s_2 and s_4 , respectively.

There are

$$(n+1)^{n-1} \quad (1)$$

parking functions of length $n \geq 1$ (OEIS A000272)—this is Cayley’s formula [Cay89] for the number of labeled trees on $n+1$ vertices. This count was established independently by Pyke [Pyk59] and Konheim and Weiss [KW66], and has been recovered bijectively by numerous authors; refer to Yan [Yan15, Section 13.2] and the references therein.

An elegant proof of (1), due to Pollak as credited by Riordan [Rio69], is as follows. Consider a circular one-way street with $n+1$ numbered parking spots, denoted $s_1, s_2, \dots, s_n, s_{n+1}$. Say, it is a roundabout with no exits and a single entry between spots s_{n+1} and s_1 . There are n cars attempting to park, so that each n -tuple $\mathbf{x} = (x_1, x_2, \dots, x_n) \in [n+1]^n$ encodes a possibility for the cars’ parking preferences. How many of these n -tuples are in fact parking functions of length n ? Since there are $n+1$ spots but only n

cars, there will always be one spot left unoccupied; which exact spot this is depends on the preferences. Note that the preference tuples form a group G under component-wise addition modulo $n+1$, and consider the subgroup $H \leq G$ generated by the all-ones preference tuple $(1, 1, \dots, 1)$. As depicted in Figure 2, the cosets $\mathbf{x}H = \{\mathbf{x} + h : h \in H\}$ for $\mathbf{x} \in G$ form equivalence classes of order $n+1$, each of which contains exactly one parking function, namely whichever tuple leaves spot $n+1$ unoccupied in its outcome. Therefore, there are $(n+1)^n / (n+1) = (n+1)^{n-1}$ parking functions of length n .

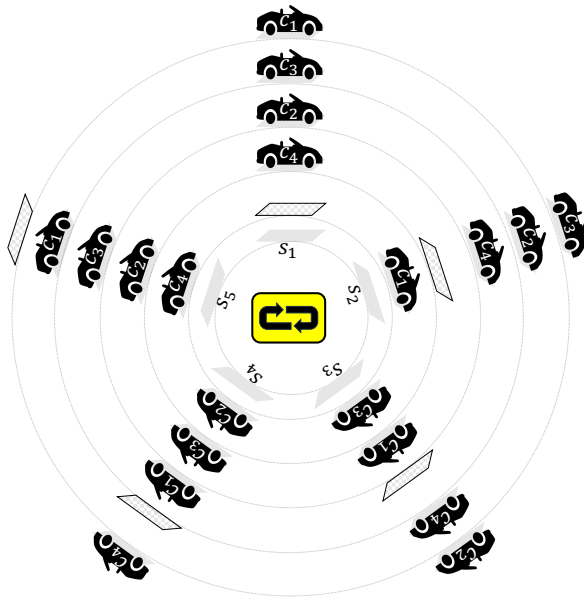


Figure 2: Pollak’s argument for (1) using the example in Figure 1. The tuples $(1, 3, 1, 1)$, $(5, 2, 5, 5)$, $(4, 1, 4, 4)$, $(3, 5, 3, 3)$, and $(2, 4, 2, 2)$ form an equivalence class of order 5. Their outcomes are depicted as layers overlaying a circular one-way road with spots s_1, s_2, \dots, s_5 . The only parking function in this class is $(1, 3, 1, 1)$ because it is the only tuple that leaves spot s_5 unoccupied in its outcome, as depicted in the outermost layer of the illustration.

Now, consider an arbitrary n -tuple $\mathbf{x} = (x_1, x_2, \dots, x_n) \in [n]^n$. Can one tell whether it is a parking function of length n without explicitly con-

sidering its parking outcome? A classical inequality-based characterization of parking functions allows precisely this. Let $\mathbf{x}' = (x'_1, x'_2, \dots, x'_n)$ be the weakly increasing rearrangement of \mathbf{x} . Then, the following holds:

$$\mathbf{x} \text{ is a parking function of length } n \iff \begin{array}{c} x'_i \leq i \text{ for all} \\ 1 \leq i \leq n \end{array} \quad (2)$$

This characterization can be verified as follows. If there exists some i for which $x'_i > i$, then at least $n-i+1$ cars attempt to park in the last $n-i$ spots $s_{i+1}, s_{i+2}, \dots, s_n$. This is more cars than spots available, so at least one of these cars will be unable to park. Conversely, if some car is unable to park, then there exists an earliest spot s_i left unoccupied, which can only be the case if $x'_i > i$.

Note that (2) has the following remarkable implication: parking functions are invariant under the action of the symmetric group \mathfrak{S}_n , which permutes their subscripts. In particular, the set of parking functions is obtained from the rearrangements of weakly increasing parking functions. For example, $(1, 3, 1, 1)$, $(1, 1, 3, 1)$, $(1, 1, 1, 3)$, and $(3, 1, 1, 1)$ are all parking functions of length 4, each with a different parking outcome, whereas no rearrangement of $(1, 3, 3, 4)$ can possibly be a parking function of length 4.

Parking functions are also closely related to the Catalan numbers (OEIS A000108), which are given by the recurrence relation

$$C_n = \sum_{i=1}^n C_{i-1} \cdot C_{n-i} \quad (3)$$

for $n \geq 1$ with $C_0 = 1$. In particular, the set of weakly increasing parking functions of length n is enumerated by (3). To verify this, suppose you construct a weakly increasing parking function of length n , denoted $\mathbf{x}' = (x'_1, x'_2, \dots, x'_n) \in [n]^n$, with your choice of $1 \leq i \leq n$ for the greatest index satisfying $x'_i = i$. For any such choice of i , the $(i-1)$ -tuple $(x'_1, x'_2, \dots, x'_{i-1})$ must be a parking function of length $i-1$, the $(n-i)$ -tuple $(x'_{i+1}-i+1, x'_{i+2}-i+1, \dots, x'_n-i+1)$ must be a parking function of length $n-i$, and by induction there are $C_{i-1} \cdot C_{n-i}$ possibilities.

As a consequence, weakly increasing parking functions are in bijection with the wide variety of Catalan

objects; refer to Stanley [Sta15] for a survey. For example, weakly increasing parking functions of length n are in bijection with Dyck paths of length $2n$; these are lattice paths from $(0, 0)$ to (n, n) using only north steps $(1, 0)$ and east steps $(0, 1)$, denoted “N” and “E” respectively, and which do not cross below the main diagonal. Armstrong, Loehr, and Warrington [ALW16, Section 2.2] describe the following bijection: given a Dyck path of length $2n$, obtain a weakly increasing parking function $\mathbf{x}' = (x'_1, x'_2, \dots, x'_n)$ of length n by letting x'_i be one plus the total number of E steps appearing before the i th N step for all $1 \leq i \leq n$. Figure 3 illustrates this construction using the weakly increasing parking function $(1, 1, 1, 3)$; the weakly increasing rearrangement of the example in Figure 1.

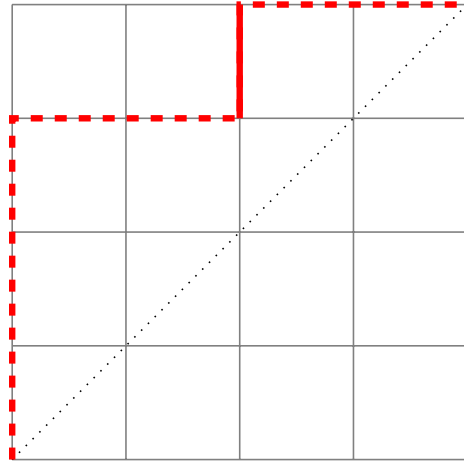


Figure 3: The Dyck path $NNNEENEE$ of length 8, illustrated with bold dashed red lines, maps to the weakly increasing parking function $\mathbf{x}' = (x'_1, x'_2, x'_3, x'_4) = (1, 1, 1, 3)$ of length 4. For example, the fourth N step in the path is the sixth step overall, as illustrated with a solid bold red line. There are a total of two E steps before it, so $x'_4 = 1 + 2 = 3$.

Note that if $\mathbf{x}' = (x'_1, x'_2, \dots, x'_n) \in [n]^n$ is a weakly increasing parking function, then the i th car c_i (with preference x'_i) parks in the i th spot s_i . Therefore, the total displacement of a weakly increasing parking

function \mathbf{x}' is given by

$$\sum_{i=1}^n i - x'_i = \frac{n(n+1)}{2} - \sum_{i=1}^n x'_i. \quad (4)$$

This statistic has further combinatorial interpretations. For example, the number of full squares between a Dyck path and the main diagonal, which in the case of Figure 3 is 4, is the same as the total displacement of its corresponding weakly increasing parking function. Lastly, note that the dependency of (4) on \mathbf{x}' reduces to the summation of its terms. This implies that the total displacement of a parking function is also preserved under rearrangements!

Despite first appearing in the literature more than six decades ago, the combinatorics of parking functions remains a vibrant area of research. Recent work ranges from the study of discrete statistics such as displacement [KY23, EHKMM23] or the number of lucky cars [GS06, SV23, SY23], the introduction of new variants and/or generalizations on the classical “parking experiment” rule (refer to Carlson et al. [CCH⁺21] for an accessible tour of endless possibilities in the style of “choose your own adventure”), polyhedral aspects [AW22, HLVM23], and surprising connections to seemingly unrelated objects [AAH⁺23, HKMM24], to mention just a few. In recent work, my collaborators and I use a subset of parking functions we call *unit Fubini rankings*, and in particular their outcome map, to characterize and enumerate the Boolean intervals of rank k in the weak order poset of \mathfrak{S}_n [EHKMM24]. Figure 4 illustrates our construction.

References

- [AAH⁺23] Yasmin Aguilera, Dylan Alvarenga, Pamela E Harris, Surya Kotapati, J Carlos Martínez Mori, Casandra D Monroe, Zia Saylor, Camelle Tieu, and Dwight Anderson Williams, *On parking functions and the tower of hanoi*, The American Mathematical Monthly **130** (2023), no. 7, 618–624.
- [ALW16] Drew Armstrong, Nicholas A Loehr, and Gregory S Warrington, *Rational parking functions and catalan numbers*, Annals of Combinatorics **20** (2016), 21–58.

- [AW22] Aruzhan Amanbayeva and Danielle Wang, *The convex hull of parking functions of length n* , *Enumerative Combinatorics and Applications* **2** (2022), no. 2, Article #S2R10.
- [Cay89] Arthur Cayley, *A theorem on trees*, *Quarterly Journal of Pure and Applied Mathematics* **23** (1889), 376–378.
- [CCH⁺21] Joshua Carlson, Alex Christensen, Pamela E Harris, Zakiya Jones, and Andres Ramos Rodriguez, *Parking functions: Choose your own adventure*, *The College Mathematics Journal* **52** (2021), no. 4, 254–264.
- [EHKMM23] Jennifer Elder, Pamela E Harris, Jan Kretschmann, and J Carlos Martínez Mori, *Cost-sharing in parking games*, arXiv preprint arXiv:2309.12265 (2023).
- [EHKMM24] ———, *Parking functions, fubini rankings, and Boolean intervals in the weak order of \mathfrak{S}_n* , To appear in *Journal of Combinatorics* (2024).
- [GS06] Ira M Gessel and Seunghyun Seo, *A refinement of cayley’s formula for trees*, *The Electronic Journal of Combinatorics* **11** (2006), no. 2, R27.
- [HKMM24] Pamela E Harris, Jan Kretschmann, and J Carlos Martínez Mori, *Lucky cars and the quicksort algorithm*, *The American Mathematical Monthly* (2024).
- [HLVM23] Mitsuki Hanada, John Lentfer, and Andrés R Vindas-Meléndez, *Generalized parking function polytopes*, *Annals of Combinatorics* (2023), 1–39.
- [KW66] Alan G. Konheim and Benjamin Weiss, *An occupancy discipline and applications*, *SIAM Journal on Applied Mathematics* **14** (1966), no. 6, 1266–1274.
- [KY23] Richard Kenyon and Mei Yin, *Parking functions: From combinatorics to probability*, *Methodology and Computing in Applied Probability* **25** (2023), no. 1, 32.
- [Pyk59] Ronald Pyke, *The supremum and infimum of the poisson process*, *The Annals of Mathematical Statistics* **30** (1959), no. 2, 568–576.
- [Rio69] John Riordan, *Ballots and trees*, *Journal of Combinatorial Theory* **6** (1969), no. 4, 408–411.
- [Sta15] Richard P Stanley, *Catalan numbers*, Cambridge University Press, 2015.
- [SV23] Antonín Slavík and Marie Vestenická, *Lucky cars: Expected values and generating functions*, *The American Mathematical Monthly* **131** (2023), no. 4, 343–348.
- [SY23] Richard P Stanley and Mei Yin, *Some enumerative properties of parking functions*, arXiv preprint arXiv:2306.08681 (2023).
- [Yan15] Catherine H Yan, *Parking functions*, *Handbook of enumerative combinatorics*, 2015, pp. 835–894.

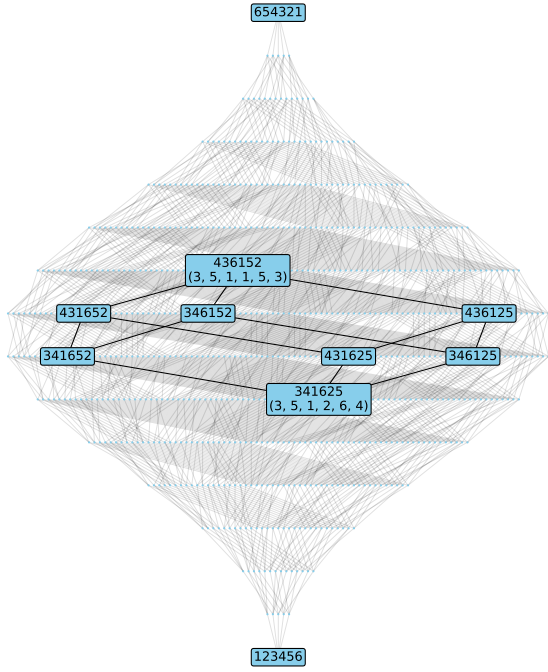


Figure 4: Weak order poset of \mathfrak{S}_6 with a Boolean interval of rank 3 highlighted, with minimal element 341625 and maximal element 436152 written in one-line notation. The outcome of $(3, 5, 1, 2, 6, 4)$, a parking function of length 6, is $(3, 4, 1, 6, 2, 5)$ and corresponds to the minimal element of the interval. The outcome of $(3, 5, 1, 1, 5, 3)$, another parking function of length 6, is again $(3, 4, 1, 6, 2, 5)$ and corresponds to the minimal element of the interval. In fact, $(3, 5, 1, 1, 5, 3)$ is a “unit Fubini ranking with 3 distinct ranks” and corresponds to a Boolean interval of rank $6 - 3 = 3$ (i.e., a cube), whereas $(3, 5, 1, 2, 6, 4)$ is a “unit Fubini ranking with 6 distinct ranks” and corresponds to a Boolean interval of rank $6 - 6 = 0$ (i.e., a node). Refer to Elder et al. [EHKMM24] for details.

¿Qué es una función de parqueo?

Juan Carlos Martínez Mori*

April 25, 2024

Resumen. En este artículo de difusión matemática describo resultados clásicos en la combinatoria de funciones de parqueo. Su traducción español-inglés está incluida.

Considere una calle de una sola vía con $n \in \{1, 2, \dots\}$ puestos de parqueo numerados, denotados s_1, s_2, \dots, s_n . Una secuencia de n carros ingresan a la calle uno a la vez, cada cual con su puesto preferido. Tras la llegada del carro $1 \leq i \leq n$, denotado c_i , este se dirige a su puesto preferido $x_i \in [n] := \{1, 2, \dots, n\}$. Si el puesto x_i está libre, el carro c_i es *suertudo* y se parquea ahí. De lo contrario, el carro c_i se *desplaza* más a lo largo de la calle hasta encontrar el primer puesto libre en el que parquear, si tal puesto existe. Si tal puesto no existe, el carro c_i abandona el proceso de búsqueda sin poder parquear. Sea $\mathbf{x} = (x_1, x_2, \dots, x_n) \in [n]^n$ la n -tupla que codifica las preferencias de parqueo de los carros. Si todos los carros logran parquear, se dice que \mathbf{x} es una *función de parqueo* de longitud n .

Las funciones de parqueo fueron inicialmente estudiadas de manera implícita por Pyke [Pyk59] en su estudio sobre procesos de Poisson y luego por Konheim y Weiss [KW66] en su estudio sobre funciones resumen con sondeo lineal. Las funciones de parqueo se pueden interpretar como funciones de manera que el “experimento de parqueo” relatado anteriormente asigna, a cada n -tupla de preferencias de parqueo, una n -tupla única que codifica su *desenlace* de parqueo. Si la n -tupla de preferencias de parqueo es efectivamente una función de parqueo, su desenlace

se puede considerar como una permutación de $[n]$ escrita en notación de una línea. Por ejemplo, tal como descrito en la Figura 1, $(1, 3, 1, 1)$ es una función de parqueo de longitud 4 con desenlace $(1, 3, 2, 4)$.

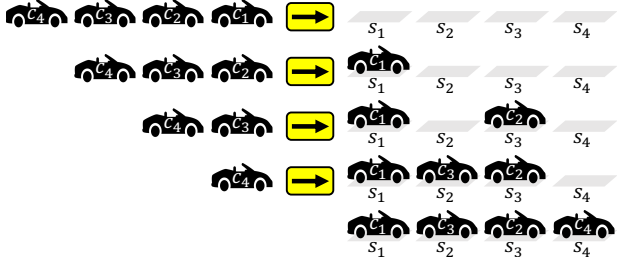


Figura 1: La función de parqueo $(1, 3, 1, 1)$ tiene desenlace $(1, 3, 2, 4)$. Los carros c_1 y c_2 son suertudos y se parquean en sus puestos preferidos s_1 y s_3 , mientras que los carros c_3 y c_4 se desplazan más a lo largo de la calle hasta finalmente parquear en los puestos s_2 y s_4 , respectivamente.

Los resultados enumerativos clásicos acerca de las funciones de parqueo presagian su abundante estructura matemática. Hay

$$(n+1)^{n-1} \quad (1)$$

funciones de parqueo de longitud $n \geq 1$ (OEIS A000272)—esta es la fórmula de Cayley [Cay89] para el número de árboles etiquetados con $n+1$ vértices. Este conteo fue establecido de manera independiente por Pyke [Pyk59] al igual que por Konheim y Weiss [KW66], y ha sido restablecido de manera biyectiva por varios autores; consulte Yan [Yan15, Sección 13.2] y las referencias ahí encontradas.

*Juan Carlos Martínez Mori es un Schmidt Science Fellow y un President's Postdoctoral Fellow en el Georgia Institute of Technology. Su correo electrónico es jcmm@gatech.edu.

Una elegante demostración de (1), de parte de Pollak según Riordan [Rio69], es la siguiente. Considere una calle circular de una sola vía con $n+1$ puestos de parqueo numerados, denotados $s_1, s_2, \dots, s_n, s_{n+1}$. Digamos que es un redondel sin salida y con una sola entrada entre los puestos s_{n+1} y s_1 . Hay n carros intentando parquear, de tal forma que cada n -tupla $\mathbf{x} = (x_1, x_2, \dots, x_n) \in [n+1]^n$ codifica una posibilidad con respecto a las preferencias de parqueo de los carros. ¿Cuántas de estas n -tuplas son efectivamente funciones de parqueo de longitud n ? Como hay $n+1$ puestos pero solamente n carros, siempre quedará un puesto sin ocupar; qué puesto este es exactamente depende de las preferencias. Note que las tuplas de preferencias forman un grupo G bajo suma por componentes modulo $n+1$, y considere el subgrupo $H \leq G$ generado por la tupla de preferencias todas uno $(1, 1, \dots, 1)$. Tal como descrito en la Figura 2, las clase laterales $\mathbf{x}H = \{\mathbf{x} + h : h \in H\}$ donde $\mathbf{x} \in G$ forman clases de equivalencia de orden $n+1$, cada cual conteniendo exactamente una función de parqueo, a saber cual sea la tupla que deja el puesto $n+1$ desocupado en su desenlace. Por tanto, hay $(n+1)^n/(n+1) = (n+1)^{n-1}$ funciones de parqueo de longitud n .

Ahora, considere alguna n -tupla arbitraria $\mathbf{x} = (x_1, x_2, \dots, x_n) \in [n]^n$. ¿Es posible determinar si es una función de parqueo de longitud n sin explícitamente considerar su desenlace? Una caracterización clásica basada en desigualdades permite esto precisamente. Sea $\mathbf{x}' = (x'_1, x'_2, \dots, x'_n)$ el reordenamiento de \mathbf{x} en orden creciente. Entonces, lo siguiente se cumple:

$$\begin{aligned} \mathbf{x} \text{ es una función de} \\ \text{parqueo de} &\iff x'_i \leq i \text{ para todo } 1 \leq i \leq n \end{aligned} \quad (2)$$

Esta caracterización se puede verificar de la siguiente manera. Si existe alguna i tal que $x'_i > i$, entonces al menos $n-i+1$ carros intentarían parquear en los $n-i$ últimos puestos $s_{i+1}, s_{i+2}, \dots, s_n$. Estos serían más carros que puestos disponibles, por lo que al menos uno de estos carros no lograría parquear. Por el contrario, si algún carro no logra parquear, entonces a fin de cuentas deberá existir un primer puesto disponible s_i , lo cual solamente puede ocurrir si $x'_i > i$.

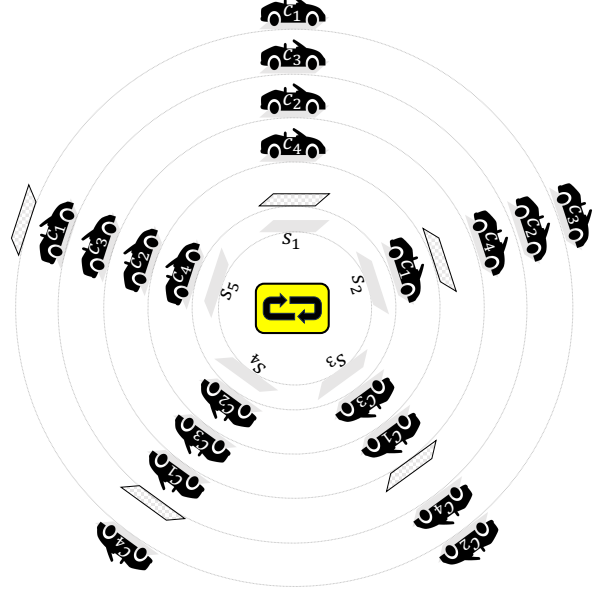


Figura 2: El argumento de Pollak para (1) utilizando el ejemplo de la Figura 1. Las tuplas $(1, 3, 1, 1)$, $(5, 2, 5, 5)$, $(4, 1, 4, 4)$, $(3, 5, 3, 3)$, y $(2, 4, 2, 2)$ forman una clase de equivalencia de orden 5. Sus desenlaces son representados mediante capas superimpuestas sobre la calle circular de una sola vía con puestos s_1, s_2, \dots, s_5 . La única función de parqueo en esta clase es $(1, 3, 1, 1)$ ya que es la única tupla que deja el puesto s_5 desocupado en su desenlace, tal como reflejado en la capa exterior de la ilustración.

Observe que (2) tiene una implicación extraordinaria: las funciones de parqueo son invariantes bajo la acción del grupo de simetría S_n , el mismo que permute sus índices. En particular, el conjunto de funciones de parqueo se obtiene mediante los reordenamientos de las funciones de parqueo en orden creciente. Por ejemplo, $(1, 3, 1, 1)$, $(1, 1, 3, 1)$, $(1, 1, 1, 3)$, y $(3, 1, 1, 1)$ son todas funciones de parqueo de longitud 4, cada cual con un desenlace distinto, mientras que ningún reordenamiento de $(1, 3, 3, 4)$ podrá ser una función de parqueo de longitud 4.

Las funciones de parqueo también están estrechamente relacionadas a los números de Catalan (OEIS A000108), los cuales surgen de la relación de

recurrencia

$$C_n = \sum_{i=1}^n C_{i-1} \cdot C_{n-i} \quad (3)$$

para $n \geq 1$ con $C_0 = 1$. En particular, el conjunto de funciones de parqueo en orden creciente de longitud n está enumerado por (3). Para verificar esta relación, suponga que construye una función de parqueo en orden creciente de longitud n , denotada $\mathbf{x}' = (x'_1, x'_2, \dots, x'_n) \in [n]^n$, con su elección de $1 \leq i \leq n$ para el índice mas grande que satisfaga $x'_i = i$. Para cualquiera sea su elección de i , la $(i-1)$ -tuple $(x'_1, x'_2, \dots, x'_{i-1})$ debe ser una función de parqueo de longitud $i-1$, la $(n-i)$ -tuple $(x'_{i+1}-i+1, x'_{i+2}-i+1, \dots, x'_n-i+1)$ debe ser una función de parqueo de longitud $n-i$, y por inducción hay $C_{i-1} \cdot C_{n-i}$ posibilidades.

En consecuencia, las funciones de parqueo en orden creciente están en biyección con la gran variedad de objetos de Catalan; refiérase a Stanley [Sta15] para un vistazo general. Por ejemplo, las funciones de parqueo en orden creciente de longitud n están en biyección con los caminos de Dyck de longitud $2n$; estos son caminos reticulares desde $(0, 0)$ hasta (n, n) utilizando únicamente pasos hacia el norte $(1, 0)$ y hacia el este $(0, 1)$, denotados “ N ” y “ E ” respectivamente, y que no cruzan por debajo de la diagonal principal. Armstrong, Loehr, y Warrington [ALW16, Sección 2.2] describen la siguiente biyección: dado un camino de Dyck de longitud $2n$, obtenga una función de parqueo en orden creciente $\mathbf{x}' = (x'_1, x'_2, \dots, x'_n)$ de longitud n tras asignar a x'_i uno más el número total de pasos E que aparecen antes del i -ésimo paso N , para toda $1 \leq i \leq n$. La Figura 3 demuestra esta construcción utilizando la función de parqueo en orden creciente $(1, 1, 1, 3)$; el reordenamiento creciente del ejemplo de la Figura 1.

Note que si $\mathbf{x}' = (x'_1, x'_2, \dots, x'_n) \in [n]^n$ es una función de parqueo en orden creciente, entonces el i -ésimo carro c_i (con preferencia x'_i) parquea en el i -ésimo puesto s_i . Por lo tanto, el desplazamiento total de una función de parqueo en orden creciente \mathbf{x}' es dado por

$$\sum_{i=1}^n i - x'_i = \frac{n(n+1)}{2} - \sum_{i=1}^n x'_i. \quad (4)$$

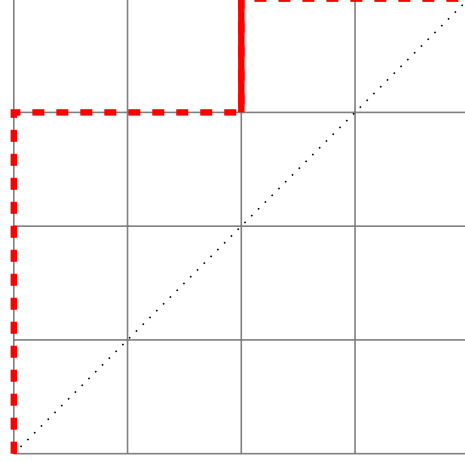


Figura 3: El camino de Dyck $NNNEENEE$ de longitud 8, el cual está resaltado por la línea punteada roja en negrita, corresponde a la función de parqueo en orden creciente $\mathbf{x}' = (x'_1, x'_2, x'_3, x'_4) = (1, 1, 1, 3)$ de longitud 4. Por ejemplo, el cuarto paso N en el camino es el sexto paso en total, y está resaltado por la línea continua roja en negrita. Hay un total de dos pasos E anteriores, por lo que $x'_4 = 1 + 2 = 3$.

Esta estadística tiene otras interpretaciones combinatoriales. Por ejemplo, el número de celdas enteras entre un camino de Dyck y la diagonal principal, que en el caso de la Figura 3 es 4, es igual al desplazamiento total de una función de parqueo en orden creciente. Por último, note que la dependencia de (4) en \mathbf{x}' se reduce a la suma de sus términos. ¡Esto implica que el desplazamiento total de una función de parqueo también se invariante bajo reordenamientos!

A pesar de que aparecieron en la literatura por primera vez hace más de seis décadas, la combinatoria de las funciones de parqueo se mantiene como una emocionante rama de investigación. Trabajos recientes van desde el estudio de estadísticas discretas tal como el desplazamiento [KY23, EHKMM23] o el número de carros suertudos [GS06, SV23, SY23], la introducción de nuevas variantes y/o generalizaciones de las reglas del “experimento de parqueo” clásico (refiérase a Carlson et al. [CCH⁺21] para un vistazo del sin fin de posibilidades al estilo de “elija su propia

aventura”), aspectos poliedrales [AW22, HLVM23], y sorprendentes conexiones con objetos que aparentan no estar relacionados [AAH⁺23, HKMM24], por mencionar solamente unos pocos. En un trabajo reciente, mis colaboradores y yo utilizamos un subconjunto de las funciones de parqueo que llamamos *clasificaciones unitarias de Fubini*, y en particular su desenlace, para caracterizar y contar los intervalos de Boole de rango k en un conjunto parcialmente ordenado de \mathfrak{S}_n [EHKMM24]. La Figura 4 demuestra nuestra construcción.

References

- [AAH⁺23] Yasmin Aguillon, Dylan Alvarenga, Pamela E Harris, Surya Kotapati, J Carlos Martínez Mori, Casandra D Monroe, Zia Saylor, Camelle Tieu, and Dwight Anderson Williams, *On parking functions and the tower of hanoi*, The American Mathematical Monthly **130** (2023), no. 7, 618–624.
- [ALW16] Drew Armstrong, Nicholas A Loehr, and Gregory S Warrington, *Rational parking functions and catalan numbers*, Annals of Combinatorics **20** (2016), 21–58.
- [AW22] Aruzhan Amanbayeva and Danielle Wang, *The convex hull of parking functions of length n* , Enumerative Combinatorics and Applications **2** (2022), no. 2, Article #S2R10.
- [Cay89] Arthur Cayley, *A theorem on trees*, Quarterly Journal of Pure and Applied Mathematics **23** (1889), 376–378.
- [CCH⁺21] Joshua Carlson, Alex Christensen, Pamela E Harris, Zakiya Jones, and Andres Ramos Rodriguez, *Parking functions: Choose your own adventure*, The College Mathematics Journal **52** (2021), no. 4, 254–264.
- [EHKMM23] Jennifer Elder, Pamela E Harris, Jan Kretschmann, and J Carlos Martínez Mori, *Cost-sharing in parking games*, arXiv preprint arXiv:2309.12265 (2023).
- [EHKMM24] _____, *Parking functions, fubini rankings, and Boolean intervals in the weak order of \mathfrak{S}_n* , To appear in Journal of Combinatorics (2024).
- [GS06] Ira M Gessel and Seunghyun Seo, *A refinement of cayley’s formula for trees*, The Electronic Journal of Combinatorics **11** (2006), no. 2, R27.
- [HKMM24] Pamela E Harris, Jan Kretschmann, and J Carlos Martínez Mori, *Lucky cars and the quicksort algorithm*, The American Mathematical Monthly (2024).
- [HLVM23] Mitsuki Hanada, John Lentfer, and Andrés R Vindas-Meléndez, *Generalized parking function polytopes*, Annals of Combinatorics (2023), 1–39.
- [KW66] Alan G. Konheim and Benjamin Weiss, *An occupancy discipline and applications*, SIAM Journal on Applied Mathematics **14** (1966), no. 6, 1266–1274.
- [KY23] Richard Kenyon and Mei Yin, *Parking functions: From combinatorics to probability*, Methodology and Computing in Applied Probability **25** (2023), no. 1, 32.
- [Pyk59] Ronald Pyke, *The supremum and infimum of the poisson process*, The Annals of Mathematical Statistics **30** (1959), no. 2, 568–576.
- [Rio69] John Riordan, *Ballots and trees*, Journal of Combinatorial Theory **6** (1969), no. 4, 408–411.
- [Sta15] Richard P Stanley, *Catalan numbers*, Cambridge University Press, 2015.
- [SV23] Antonín Slavík and Marie Vestenická, *Lucky cars: Expected values and generating functions*, The American Mathematical Monthly **131** (2023), no. 4, 343–348.
- [SY23] Richard P Stanley and Mei Yin, *Some enumerative properties of parking functions*, arXiv preprint arXiv:2306.08681 (2023).
- [Yan15] Catherine H Yan, *Parking functions*, Handbook of enumerative combinatorics, 2015, pp. 835–894.

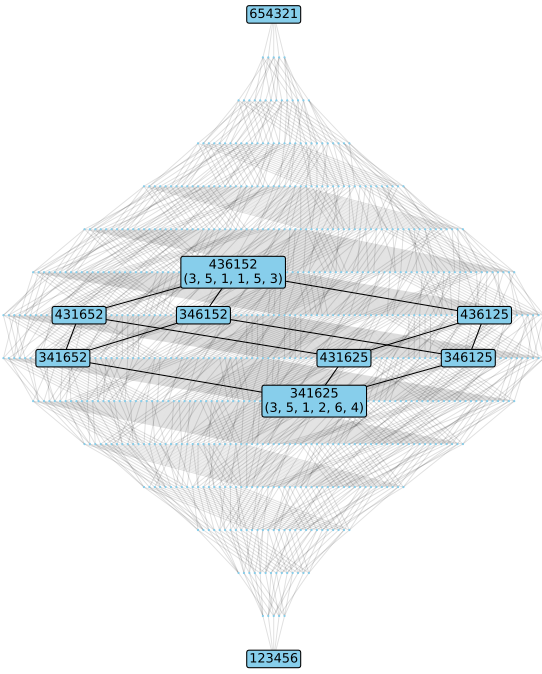


Figura 4: Conjunto parcialmente ordenado de \mathfrak{S}_6 con un intervalo de Boole de rango 3 resaltado, con elemento mínimo 341625 y elemento máximo 436152 escritos en notación de una línea. El desenlace de $(3, 5, 1, 2, 6, 4)$, una función de parqueo de longitud 6, es $(3, 4, 1, 6, 2, 5)$ y corresponde al elemento mínimo del intervalo. El desenlace de $(3, 5, 1, 1, 5, 3)$, otra función de parqueo de longitud 6, es así mismo $(3, 4, 1, 6, 2, 5)$ y corresponde al elemento mínimo del intervalo. De hecho, $(3, 5, 1, 1, 5, 3)$ es una “clasificación unitaria de Fubini con 3 rangos distintos” y corresponde a un intervalo de Boole de rango $6 - 3 = 3$ (i.e., un cubo), mientras que $(3, 5, 1, 2, 6, 4)$ es una “clasificación unitaria de Fubini con 6 rangos distintos” y corresponde a un intervalo de Boole de rango $6 - 6 = 0$ (i.e., un vértice). Refiérase a Elder et al. [EHKMM24] para más detalles.